

فصلنامه کواترنری ایران (علمی-پژوهشی)، دوره ۲، شماره ۴، زمستان ۱۳۹۵
ص ۳۰۵-۳۱۴

تعیین ارتفاع خط تعادل (ELA) در دره هراز در آخرین دوره یخچالی

مجتبی یمانی؛ استاد ژئومورفولوژی، دانشکده جغرافیا، دانشگاه تهران، تهران، ایران
حمزة زمانی^{*}؛ استادیار ژئومورفولوژی، دانشگاه پیام نور، ایران

تاریخ دریافت: ۱۳۹۵/۱۲/۲۱ تاریخ پذیرش: ۱۳۹۶/۰۴/۲۰

چکیده

گسترش و بسط نظریه یخبدان کواترنری با تجزیه و تحلیل داده‌ها و یافتن ارتباط میان جهت و ارتفاع ناهمواری و چگونگی پدید آمدن اشکال مورفولوژی یخچالی هدفی است که این تحقیق بنسایی در تلاش برای نسل به آن است. بر این اساس، اهداف فرعی زیر مطرح می‌شود: (الف) شناخت اشکال مورفولوژی یخچالی در دره هراز، و (ب) تعیین مرزهای یخچالی کواترنری در البرز مرکزی. دره هراز، از دامنه آزادکوه تا دره اصلی هراز در زدبن، با روند شرقی-غربی محل تشکیل اشکال ژئومورفولوژی یخچالی است. این مقاله درصد است تا با رویکردی آماری، ضمن مطالعه حدود گسترش یخبدان‌های دوره کواترنری و بازسازی ارتفاع خط تعادل (ELA)، به بررسی توزیع سیرک‌های یخچالی منطقه و ارتفاع سرف‌مرز در دوره یخچالی وورم پیردادزد. برای بررسی و بیان چگونگی توزیع سیرک‌های یخچالی از روش‌های آمار توصیفی و آزمون خی دو استفاده شده است. روش‌های گوناگونی برای بازسازی ELA وجود دارد که در اینجا، سا روش بررسی کف سیرک، ارتفاع برف‌مرز دوره و روش تعیین می‌شود. نتایج تحقیق ثابت می‌کند که در مورد سیرک‌های یخچالی بین فراوانی‌های مشاهده شده و فراوانی‌های مورد انتظار، تفاوت معناداری وجود دارد و توزیع این سیرک‌ها ناشی از جهت ناهمواری است. در مورد ارتفاع برف‌مرز دوره گذشته نیز ادغام روش بررسی کف سیرک و روش‌های آماری پیشنهادی دهد که در این حوضه، میانگین ارتفاع سیرک‌های یخچالی ۲۷۹۹ متر و مقدار نما ۲۷۰۶ متر است. مقدار نما در سیرک‌های رو به قطب دارای ارتفاع ۲۸۷۴ متر و در سیرک‌های رو به استوا دارای ارتفاع ۲۹۴۱ متر است.

کلیدواژه‌ها: آخرین دوره یخچالی، ارتفاع خط تعادل، دره هراز، سیرک یخچالی، یخچال.

مقدمه

یخچال‌ها شاخص‌های تغییر اقلیم است و یخچال‌های سیرکی شاید بهترین مورد برای این منظور باشد، چرا که اندازه و حجم اندک آن و نیز سرعت زیاد در واکنش آن به تغییرات مثبت یا منفی، که معمولاً طی دو سال آشکار می‌شود، باعث شده تا از آن به عنایت شواهدی برای تغییر اقلیم استفاده کنند (سینگ و همکاران، ۲۰۱۱: ۱۴۴). در دوره کواترنری، شرایط یخچالی و بین‌یخچالی، به تناوب، به قوع پیوسته و شواهد ژئومورفولوژیکی انکارناپذیری بر جای گذاشته است که می‌توان از آن در تعیین برف‌مرز و حدود گسترش یخچالی و نیز مطالعه تغییرات اقلیمی آن دوره استفاده کرد. این امر، بدین دلیل امکان‌پذیر است که فرایندهای بیرونی تغییردهنده شکل زمین نتوانسته است بهطور کامل آثار باقی‌مانده از فرسایش یخچالی کواترنری را از بین ببرد.

ژاک دو مورگان (۱۸۹۵) در اثر چهار جلدی خود به نام مأموریت علمی در ایران، به وجود سیرک یخچالی در لرستان اشاره کرده است. از آن پس، می‌توان به مطالعات باسک (۱۹۸۳)، بوبک (۱۹۳۴، ۱۹۳۷، ۱۹۵۷ و ۱۹۶۳)، دزیو

(۱۹۳۴)، هایبروک (۱۹۴۰)، هاردینگ (۱۹۵۷)، پگی (۱۹۵۹)، بوت و همکاران (۱۹۶۱)، رایت (۱۹۶۲)، مک‌کویلان (۱۹۶۹)، شواپتر (۱۹۷۲)، هورووات (۱۹۷۵)، گرونرت و همکاران (۱۹۷۸)، و فریگنو (۱۹۸۸) اشاره کرد. برخی زمین‌شناسان و ژئومورفولوژیست‌های داخلی نیز مطالعات ارزشمندی در این زمینه داشته‌اند؛ برای مثال، محمدی (۱۳۶۷)، پدرامی (۱۳۸۲)، یمانی (۱۳۸۱)، یمانی و همکاران (۱۳۹۲)، رامشت و نعمت‌الهی (۱۳۸۴)، و رامشت (۱۳۸۱). اخیراً، مطالعات ارزشمندی در نقاط مختلف ایران صورت گرفته که از آن جمله می‌توان به موارد زیر اشاره کرد: سیف (۲۰۱۵) در مورد پایین‌رفتن ELA در اشترانکوه، و سیف و ابراهیمی (۲۰۱۴) و (۲۰۱۶) در تحلیل مورفومتری سیرک‌های زردکوه بختیاری در محیط GIS.

شوایتر (۲۲۹: ۱۹۷۲) ارتفاع کنونی برف‌مرز دائم البرز را ۴۱۵۰ متر ذکر کرده است. درباره مرزهای گسترش یخچالی و ارتفاع برف دائم در البرز مرکزی نیز نظریه‌های مختلفی طرح شده است. به‌نظر بوبک و شواپتر پایین‌آمدن ارتفاع خط برف در دوره‌های سرد پلائیستوسن حدود ۸۰۰ تا ۱۰۰۰ متر نسبت به حد امروزی بوده است (جدای عوضی، ۱۳۷۴: ۷۴-۵؛ یعنی، در البرز مرکزی بین ۳۲۰۰ تا ۳۷۰۰ متر، یا بین ۳۰۰۰ تا ۳۵۰۰ متر. اهلز (۱۳۷۲: ۱۰۷) با استناد به کارهای هوورمن^۱ (۱۹۶۰) برف‌مرز دائم را در پلائیستوسن ۲۰۰ متر پایین‌تر از آنچه دانسته است که بوبک و شواپتر نقل می‌کنند؛ یعنی، بین ۳۰۰۰ تا ۳۵۰۰ متر یا بین ۲۸۰۰ تا ۳۳۰۰ متر. پژوهش‌های اخیر نشان داد که حد گسترش یخچال‌های دوره وورم در دامنه‌های شمالی علم کوه و تخت‌سليمان ۲۸۰۰ متر و در دامنه‌های جنوبی آن ۳۱۰۰ متر است (یمانی، ۱۳۸۱: ۱۵).

این تحقیق در پی یافتن پاسخ برای این پرسش‌هاست: (الف) مرز یخبندان کواترنری در دره هرزا در آخرین دوره یخچالی در چه ارتفاعاتی قرار دارد؟ (ب) بین فراوانی، حجم و توزیع سیرک‌های یخچالی و از طرفی توپوگرافی و راستای ناهمواری‌ها چه ارتباطی وجود دارد؟

موقعیت و حدود منطقه

منطقه مورد مطالعه حوضه آبریز هرزا است که به شکل مستطیل کشیده‌ای بین نصف‌النهارهای "۱۰° ۵۱' ۲۶" و "۱۷° ۴۵'" شرقی و مدارهای "۱۷° ۳۶'" و "۱۶° ۳۹'" شمالی قرار دارد. این منطقه با ۱۲۹۲ کیلومترمربع مساحت در قسمت میانی البرز مرکزی واقع شده است. آبراهه اصلی آن حدود ۹۰ کیلومتر طول دارد و جهت آن غربی-شرقی است. مرتفع‌ترین نقطه آن آزادکوه با ارتفاع ۴۳۹۰ متر است و پایین‌ترین نقطه حوضه حدود ۷۵۰ متر از سطح دریا ارتفاع دارد (شکل ۱).

مواد و روش‌ها

این تحقیق عمدتاً تحقیقی بنیادی است و هدف کلی گسترش و بسط نظریه یخبندان کواترنری با تجزیه‌وتحلیل داده‌های است. بر این اساس، اهداف زیر را می‌توان ذکر کرد: (الف) شناخت اشکال مورفولوژی یخچالی در دره هرزا، (ب) تعیین مرزهای یخچالی کواترنری در البرز مرکزی، (ج) مطالعه اختلافهای موجود در مرزهای تشکیل و گسترش یخچالی در دامنه‌های شمالی و جنوبی البرز مرکزی و شناخت علل این اختلاف‌ها، و (د) دستیابی به متغیرهایی که احتمالاً در اختلاف ارتفاع مرزهای یخچالی این دو پهنه مؤثر است.

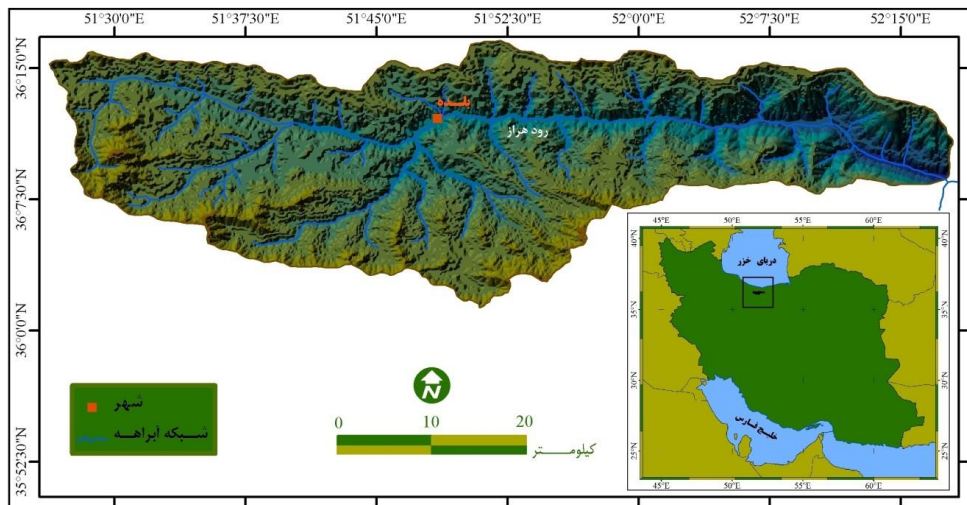
تحقیق حاضر، بر پایه روش تجربی استوار است. برای مقایسه اختلاف متغیرهای عامل در دو دامنه شمالی و جنوبی حوضه از روش تحلیلی استفاده شده است. تکییک کار بر پایه مقایسه ارتفاع سیرک‌ها و تعیین حدود گسترش زبانه‌های یخچالی در دو دامنه شمالی و جنوبی استوار است. در مرحله بعد، داده‌ها با مشاهده مستقیم و کارهای میدانی تفصیلی با استفاده از GPS و نیز مشاهدات غیرمستقیم با استفاده از نقشه‌های توپوگرافی ۱:۵۰۰۰۰، عکس‌های هوایی ۱۵۵۰۰ منطقه و تصاویر ماهواره‌ای لندست (ستجنده ETM+) گردآوری شده است. تمامی داده‌ها با استفاده از نرم‌افزارهای ArcGIS و SPSS تحلیل شد و از طریق نقشه‌های موضوعی متعدد نمایش داده شده است. برای

1. Hövermann

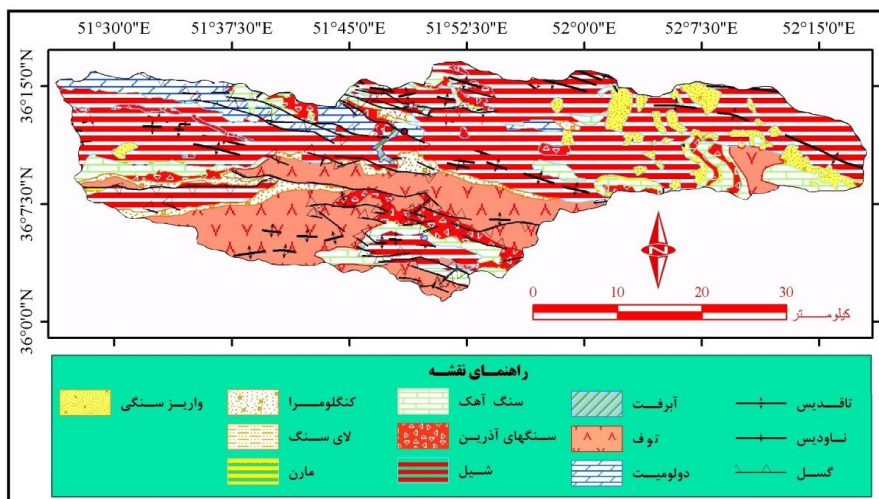
تعیین ارتفاع خط تعادل (ELA) در دره هراز در آخرین دوره یخچالی

تجزیه و تحلیل داده ها از روش های آمار توصیفی استفاده شد و توزیع آن بر اساس آزمون خی دو (Chi-Square Test) تحلیل شده است.

شکل ۲ نقشه زمین شناسی منطقه را نشان می دهد. امتداد چین خوردگی ها شمال غربی - جنوب شرقی و روراندگی اصلی البرز نیز با روند تقریبی شرقی - غربی از جنوب منطقه عبور می کند.



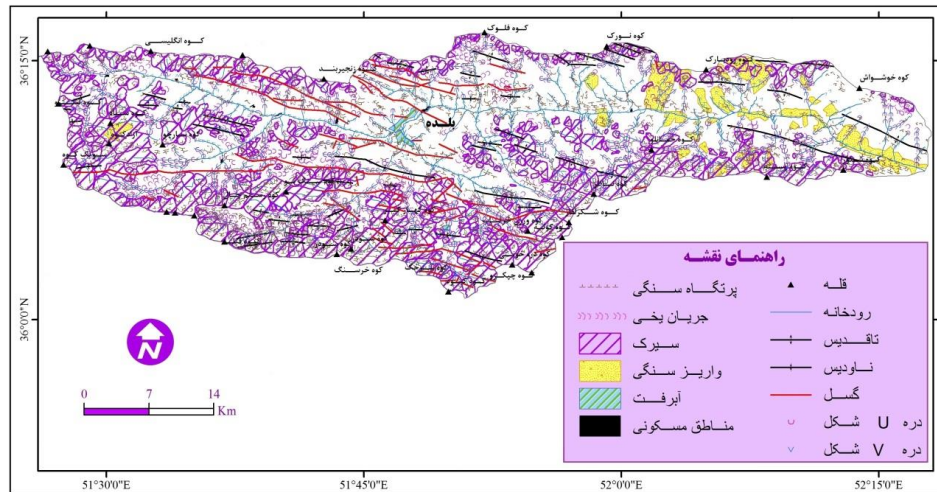
شکل ۱. موقعیت منطقه مورد مطالعه (ترسیم: نگارندگان)



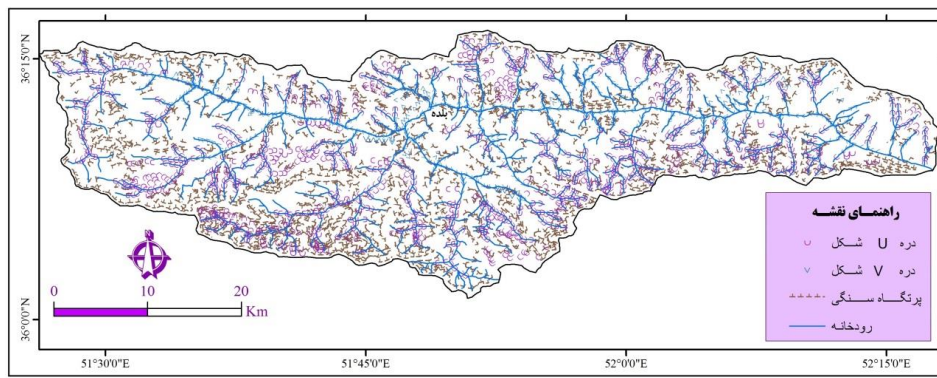
شکل ۲. نقشه زمین شناسی منطقه (اقتباس از نقشه زمین شناسی ۱:۲۵۰۰۰۰ امل)

یافته های پژوهش

شکل های اصلی ژئومورفو لوژی یخچالی منطقه (شکل ۳) عبارت است از دره های U شکل و V شکل، پرتگاه سنگی، مسیر های جریان بین، پهنه های آبرفتی، سیرک های یخچالی و واریزه سنگی. فرم دره ها (شکل ۴) در بیشتر دره های فرعی، به ویژه دره های در دامنه های رو به شمال از نوع U شکل و در دره اصلی V شکل است.



شکل ۳. نقشه ژئومورفولوژی دره هراز (ترسیم: نگارندگان)



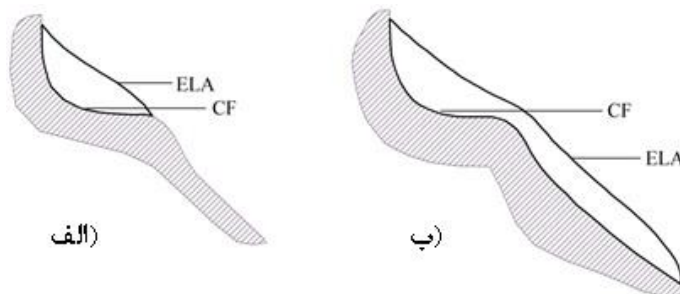
شکل ۴. شبکه دره‌ها در دره هراز (ترسیم: نگارندگان)

پورتر (۱۰۶۸: ۲۰۰۱) در مطالعه کوهستان‌های یخچالی عرض‌های پایین، از پنج روش برای بازسازی ارتفاع خط تعادل^۱ (ELA) استفاده کرد. وی معتقد است از آنجا که این روش‌ها از نظر شیوه با یکدیگر تفاوت دارد، نتایج حاصل از این روش‌ها با یکدیگر مقایسه‌پذیر نیست. این پنج روش عبارت است از ۱. روش مطالعه کف سیرک، ۲. روش بررسی یخچالی قسمت بالای دره، ۳. روش آستانه‌های یخچالی، ۴. روش نسبت ارتفاع، و ۵. روش نسبت انباشتگی-مساحت. از میان روش‌های ذکر شده، روش مطالعه کف سیرک برای منطقه مورد مطالعه انتخاب شده است؛ بهدلیل اینکه بر اساس نظر پورتر، هنگامی که یخچالی فقط سیرک را پرمی کند، ELA دائمی آن عموماً خیلی بالاتر از میانگین ارتفاع کف سیرک^۲ (CF) نیست. شکل ۵ دو نوع از چنین سیرک‌هایی را نشان می‌دهد؛ در قسمت الف یخچالی نمایش داده شده که محدود به سیرک است و قسمت ب سیرکی را نشان می‌دهد که در بالادست یخچالی دره‌ای قرار دارد. بنابراین، در چنین موقعی، محاسبه ارتفاع کف سیرک روش مناسبی در تعیین ارتفاع خط تعادل‌های گذشته است. در این حالت، با پایان یافتن دوره سرد پلیستوسن، برف‌مرز از سطح سیرک بالاتر می‌رود و در نتیجه، یخچال‌های سیرکی نیز از بین می‌رود.

1. equilibrium line altitude
2. cirque floor

تعیین ارتفاع خط تعادل (ELA) در دره هراز در آخرین دوره یخچالی

۳۰۹



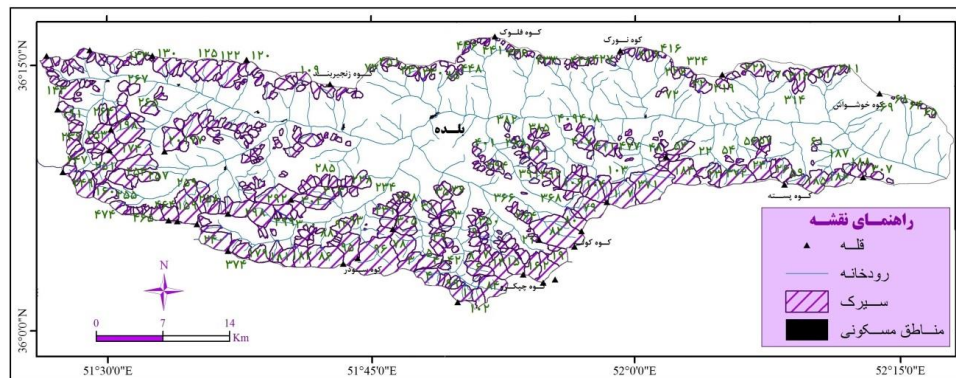
شکل ۵. انواع سیرک‌های یخچالی در روش مطالعه کف سیرک (اقتباس از: پورتر، ۲۰۰۱: ۱۰۶۹)

دره هراز به دلیل روند رشته کوه‌های مشرف بر آن و جهت شرقی- غربی دره اصلی، از نظر توسعه و تکوین سیرک‌های یخچالی شرایط مساعدی در منطقه البرز مرکزی دارد، به طوری که تعداد ۴۷۷ سیرک یخچالی در این حوضه شناسایی شده است (جدول ۱). شکل ۶ نقشهٔ پراکندگی سیرک‌های یخچالی را در دره هراز نشان می‌دهد. بررسی آماری و محاسبات انجام گرفته با نرم‌افزار ArcGIS در مورد سیرک‌های یخچالی حوضه حاکی از آن است که در دوره‌های یخچالی کواترنری، دست کم ۴۲۵ کیلومترمربع از مساحت حوضه تحت سیطره یخچال‌ها بوده است که این مساحت، حدود ۳۳ درصد کل حوضه را شامل می‌شود. کفت مرتفع‌ترین سیرک در ارتفاع ۳۵۵۲ متر و پایین‌ترین سیرک در ارتفاع ۱۵۶۸ متر قرار داشته است. میانگین حسابی ارتفاع سیرک‌ها، رقم ۲۷۹۰ متر را بیان می‌کند. تعداد ۸۵ سیرک در جهت شمال قرارداده است. کوچک‌ترین سیرک ۱۵ کیلومترمربع و بزرگ‌ترین سیرک حوضه حدود ۱۲ کیلومترمربع وسعت دارد.

جدول ۱. توزیع فراوانی سیرک‌های یخچالی در دره هراز

جهت‌های جغرافیایی و شاخص‌های پراکندگی	دره هراز	
	درصد	فراوانی
شمال	۱۷/۹	۸۵
شمال شرق	۱۴/۳	۶۸
شرق	۱۱/۶	۵۵
جنوب شرق	۱۱/۲	۵۳
جنوب	۱۲/۴	۵۹
جنوب غرب	۹/۲	۴۴
غرب	۱۱/۲	۵۳
شمال غرب	۱۲/۲	۵۸
جمع مقادیر (ΣX)	۱۰۰	۴۷۵
تعداد داده‌ها (n)		۸
میانگین حسابی (\bar{x})		۵۹/۴
جمع مربعات مقادیر (ΣX^2)		۲۹۲۷۳
انحراف معیار نمونه ($s_{\bar{x}}$)		۱۲/۴
انحراف معیار جامعه (s_x)		۱۱/۶
دامنه‌های رو به قطب	۵۶	۲۶۶
دامنه‌های رو به استوا	۴۴	۲۰۹

(منبع: یافته‌های پژوهش)



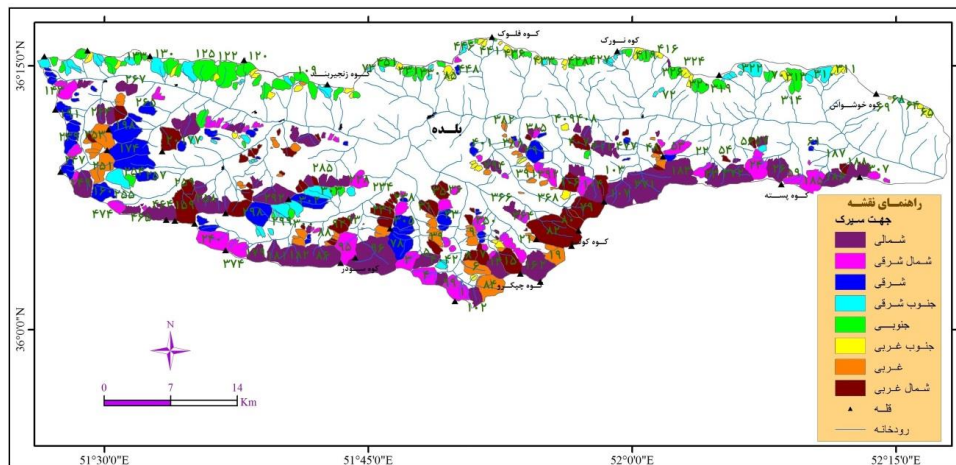
شکل ۶. نقشه پراکندگی سیرک‌های یخچالی در دره هراز (ترسیم: نگارندگان)

کوچک‌ترین سیرک‌های حوضه نیز در جهت جنوب‌غربی قراردارد و میانگین مساحت سیرک‌های حوضه ۹۰ کیلومتر مربع است. جدول ۲ خلاصه مشخصات سیرک‌های یخچالی و شکل ۷ نقشه جهت سیرک‌های یخچالی دره هراز را نشان می‌دهد.

جدول ۲. خلاصه مشخصات سیرک‌های یخچالی دره هراز

جهت	فراآنی	درصد	میانگین ارتفاع (متر)	میانگین مساحت (متر مربع)
شمال	۸۵	۱۷/۹	۲۷۰۵	۱۴۷۳۰۳۶
شمال شرق	۶۸	۱۴/۳	۲۷۴۱	۹۰۲۳۷۵
شرق	۵۵	۱۱/۶	۲۸۴۶	۱۰۴۰۲۲۳
جنوب شرق	۵۳	۱۱/۲	۲۸۲۰	۵۵۵۴۹۶
جنوب	۵۹	۱۲/۴	۲۸۷۲	۶۹۰۹۴۳
جنوب غرب	۴۴	۹/۲	۲۸۶۴	۳۱۲۵۴۸
غرب	۵۳	۱۱/۲	۲۸۹۸	۶۳۵۰۰۵
شمال غرب	۵۸	۱۲/۲	۲۷۲۵	۱۱۶۴۴۶۷
جمع	۴۷۵	۱۰۰	۲۷۹۹	۹۰۳۰۲۳

(منبع: یافته‌های پژوهش)



شکل ۷. نقشه جهت سیرک‌های یخچالی در دره هراز (ترسیم: نگارندگان)

تعیین ارتفاع خط تعادل (ELA) در دره هراز در آخرین دوره یخچالی

۳۱۱

بحث و نتیجه‌گیری

همواره فرض بر این بوده است که بین فراوانی، حجم و توزیع سیرک‌های یخچالی، با توبوگرافی و راستای ناهمواری‌ها ارتباطی وجود دارد. در اینجا، برای اثبات معنادار بودن چنین رابطه‌ای از روش‌های آماری استفاده شده است. چون مقیاس اندازه‌گیری ما جهت‌های جغرافیایی است که ارزش اسمی دارد، بنابراین، برای آزمون معنادار بودن توزیع متغیر در جامعه، به استفاده از آزمون‌های غیرپارامتریکی ملزم‌میم. داده‌های مربوط به جهت سیرک‌ها پس از دسته‌بندی در جهت‌های هشت‌گانه جغرافیایی و محاسبه ساخته‌های پراکندگی، و طبقه‌بندی پراکندگی سیرک‌های یخچالی بر اساس جهت آن‌ها به طرف قطب یا استوا در جدول ۱ آمده است. ملاحظه می‌شود که ۵۶ درصد سیرک‌ها رو به قطب و ۴۴ درصد رو به استواست. پس از آن، توزیع آن‌ها بر اساس آزمون خی دو تحلیل می‌شود (رابطه ۱).

$$X^2 = \frac{\sum (O - E)^2}{E} \quad (1)$$

که در آن O فراوانی مشاهده شده، E فراوانی مورد انتظار و X^2 آزمون مجذور خی است (باتاچاریا و جانسون، ۱۳۶۶: ۴۹۷). جدول ۳ فراوانی سیرک‌های مشاهده شده و مورد انتظار را در دره هراز نشان می‌دهد. همان‌طور که در جدول ۳ مشاهده می‌شود، فرض صفر رد شده است. این بدان معناست که در این حوضه، سیرک‌های یخچالی در جهت رو به قطب گسترش بیشتری داشته است. بررسی آماری فراوانی سیرک‌های یخچالی نیز مؤید همین امر است، به طوری که از مجموع ۴۷۵ سیرک یخچالی واقع در حوضه، تعداد ۲۶۶ سیرک رو به قطب و ۲۰۹ سیرک رو به استوا بوده است. بنابراین، شکل گیری سیرک‌های یخچالی در این منطقه تابعی از جهت ناهمواری است. به دیگر سخن، دامنه‌های رو به قطب که میزان انرژی کمتری از خورشید دریافت می‌کند، بستر مناسبی برای تشکیل سیرک‌ها و دیگر اشکال مورفولوژی یخچالی است.

تحلیل شکل گیری سیرک‌های یخچالی در ارتفاعات مختلف با بررسی سیرک‌هایی که در سطوح ارتفاعی واقع بین منحنی‌های متوازی با فاصله ۱۰۰ متر قرار دارد نیز، با روش‌های آماری تحلیل شد تا ارتفاع برمز داشم در آخرین دوره یخ‌بندان کواترنری در هر یک از جهت‌های هشت‌گانه حوضه هراز به دست آید.

جدول ۳. آزمون مجذور خی (X^2) در دره هراز

سیرک‌ها	تمام	شمال شرق	پیش	پیش	پیش	پیش	پیش	پیش	پیش	پیش	کل
فراوانی مشاهده شده (O)	۸۵	۶۸	۵۵	۵۳	۵۹	۴۴	۵۳	۵۸	۴۷۵		
احتمال تحت H_0 فرض	.۱۲۵	.۱۲۵	.۱۲۵	.۱۲۵	.۱۲۵	.۱۲۵	.۱۲۵	.۱۲۵		۱	
فراوانی مورد انتظار (E)	۵۹/۳۷۵	۵۹/۳۷۵	۵۹/۳۷۵	۵۹/۳۷۵	۵۹/۳۷۵	۵۹/۳۷۵	۵۹/۳۷۵	۵۹/۳۷۵	۴۷۵		
$\frac{(O - E)^2}{E}$	۱۱/۰۵۹	۱/۲۵	.۰/۳۲	.۰/۶۸	.۰/۰۰۲	۳/۹۸	.۰/۶۸	.۰/۰۳		۱۸	
										$X^2 =$	
										d.f = ۷	

تحلیل: چون ۵ درصد بالایی خی دو با $d.f = 7$ برابر $14/0.671$ و مقدار خی دو به دست آمده، از آن بیشتر است، فرض صفر در $\alpha = 0.05$ یا ۵ درصد رد می‌شود و می‌توانیم نتیجه بگیریم که به نظر می‌رسد در حوضه هراز اختلاف معناداری بین مشاهدات و فرض تحقیق وجود دارد.
(منبع: یافته‌های پژوهش)

به منظور مقایسه ارتفاع متوسط سیرک‌های یخچالی و ارتفاعی که سیرک‌ها بیشترین فراوانی را در آن ارتفاع داشته است، میانگین حسابی و مدل نمای هر یک از جوامع آماری محاسبه شده است. همان‌طور که می‌دانیم نما، مقداری از متغیر است که چگالی آن از مقادیر مجاورش بیشتر و احتمال تحقق آن از همه بیشتر است (علیجانی و کاویانی، ۱۳۷۱: ۴۷۲). از فرمول کلی (۲) برای محاسبه مدل استفاده شده است.

$$M_o = L + \frac{d_1}{d_1 + d_2} \times h \quad (2)$$

که در آن L حد پایین طبقه نمادار، d_1 تفاضل طبقه قبل از طبقه نمادار از فراوانی طبقه نمادار، d_2 تفاضل طبقه بعد از طبقه نمادار از فراوانی طبقه نمادار، و h فاصله طبقات است (مهردوی، ۱۳۷۲: ۷۳).

جدول ۴ توزیع فراوانی ارتفاع سیرک‌های یخچالی را در درجه هراز نشان می‌دهد. در این حوضه، میانگین ارتفاع سیرک‌های یخچالی ۲۷۹۹ متر و مقدار نما ۰.۲۷۰۶ متر است. شکل ۸ میانگین برف‌مرز درجه هراز را در آخرین دوره یخچالی نشان می‌دهد که بر اساس بیشترین فراوانی وقوع (نما) سیرک‌های یخچالی تهیه شده است.

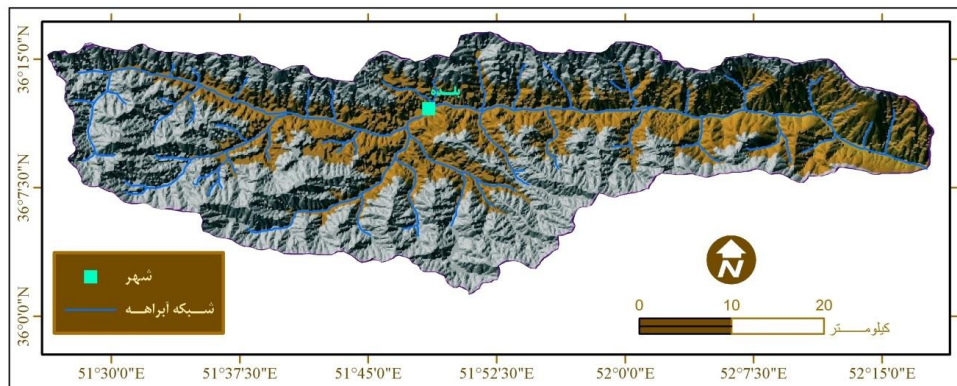
جدول ۴. توزیع فراوانی ارتفاع کف سیرک‌های یخچالی در درجه هراز

ردیف نمبر	سیرک‌ها	فرافری	جهت								ن
			شمال	شمال‌شرق	شرق	جنوب‌شرق	جنوب	جنوب‌غرب	غرب	شمال‌غرب	
۱۵۰۰	۱	۱	۰	۰	۰	۰	۰	۰	۰	۰	.۱۲
۱۶۰۰	-	۰	۰	۰	۰	۰	۰	۰	۰	۰	.
۱۷۰۰	-	۰	۰	۰	۰	۰	۰	۰	۰	۰	.
۱۸۰۰	۲	۲	۰	۰	۰	۰	۰	۰	۰	۰	.۱۴
۱۹۰۰	۱	۰	۰	۰	۰	۰	۰	۰	۰	۱	.۱۲
۲۰۰۰	۲	۱	۱	۰	۰	۰	۰	۰	۰	۰	.۱۴
۲۱۰۰	۶	۳	۰	۱	۱	۰	۱	۰	۰	۰	.۱۳
۲۲۰۰	۹	۴	۲	۱	۰	۱	۰	۱	۰	۰	.۱۹
۲۳۰۰	۲۵	۴	۹	۱	۰	۱	۰	۱	۰	۹	.۵۳
۲۴۰۰	۲۷	۵	۴	۴	۵	۲	۱	۲	۴	۵	.۵۷
۲۵۰۰	۳۷	۷	۷	۶	۲	۵	۴	۲	۴	۷	.۷۸
۲۶۰۰	۵۸	۱۰	۹	۵	۶	۶	۷	۸	۷	۱۲	.۲
۲۷۰۰	۵۹	۱۵	۴	۳	۷	۹	۴	۸	۹	۱۲	.۴
۲۸۰۰	۴۵	۷	۵	۵	۹	۳	۷	۴	۵	۹	.۵
۲۹۰۰	۶۳	۸	۹	۱۰	۱۰	۱۱	۲	۶	۷	۱۳	.۳
۳۰۰۰	۶۸	۴	۱۰	۱۳	۹	۹	۹	۷	۷	۱۴	.۳
۳۱۰۰	۴۳	۸	۵	۲	۳	۹	۷	۶	۳	۹	.۱
۳۲۰۰	۱۳	۴	۲	۱	۱	۳	۰	۱	۱	۲	.۷
۳۳۰۰	۹	۲	۰	۰	۰	۰	۲	۴	۱	۱	.۹
۳۴۰۰	۵	۰	۱	۱	۰	۰	۰	۳	۰	۱	.۱
۳۵۰۰	۲	۰	۰	۲	۰	۰	۰	۰	۰	۰	.۱۴
جمع	۴۷۵	۸۵	۶۸	۵۵	۵۳	۵۹	۴۴	۵۳	۵۸	۱۰۰	
میانگین ارتفاع (متر)	-	۲۷۰۵	۲۷۴۱	۲۸۴۶	۲۸۲۰	۲۸۷۲	۲۸۶۴	۲۸۹۸	۲۷۲۵	۲۷۹۹	
نما (Mo) (متر)	-	۲۷۳۸	۳۰۱۶	۳۰۰۸	۲۹۵۰	۲۹۸۰	۳۰۷۷	۲۷۵۷	۲۷۳۳	۲۷۰۶	

(منبع: یافته‌های پژوهش)

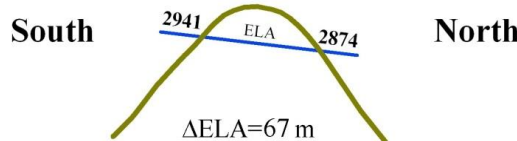
تعیین ارتفاع خط تعادل (ELA) در دره هراز در آخرین دوره یخچالی

۳۱۲



شکل ۸. نقشه برف‌مرز دره هراز در آخرین دوره یخچالی (ترسیم: نگارندگان)

همچنین، ارتفاع نما در سیرک‌های رو به قطب ۲۸۷۴ متر و در سیرک‌های رو به استوا ۲۹۴۱ متر است. به دیگر سخن، ΔELA در دامنه‌های رو به قطب و رو به استوا ۶۷ متر است که این مسئله با فرض تحقیق کاملاً همخوانی دارد (شکل ۹).



شکل ۹. ΔELA در دامنه‌های رو به قطب و رو به استوا در دره هراز (منبع: یافته‌های پژوهش)

نتایج تحقیق ثابت می‌کند که در مورد سیرک‌های یخچالی بین فراوانی‌های مشاهده شده و فراوانی‌های مورد انتظار تقاضت معناداری وجود دارد و توزیع این سیرک‌ها ناشی از جهت ناهمواری است؛ یعنی، دامنه‌هایی که میزان انحراف کمتری از خورشید دریافت می‌کند مکان مناسب‌تری برای تشکیل سیرک و دیگر اشکال مورفولوژی یخچالی است. در مورد ارتفاع خط تعادل آخرین دوره یخچالی نیز روش بررسی کف سیرک انتخاب شد و ادغام آن با روش‌های آماری میانگین ارتفاع ۲۷۹۹ متر برای سیرک‌های یخچالی پیشنهاد می‌شود. بر همین اساس، مقدار نما ۲۷۰۶ متر است. ارتفاع نما در سیرک‌های رو به قطب ۲۸۷۴ متر و در سیرک‌های رو به استوا ۲۹۴۱ متر است. ΔELA در دامنه‌های رو به قطب و رو به استوا ۶۷ متر است که این مسئله با فرض تحقیق کاملاً همخوانی دارد.

منابع

- اهرز، ا. (۱۳۷۲). ایران: مبانی کشورشناسی جغرافیایی. جلد اول، جغرافیای طبیعی، ترجمه محمدتقی رهنما، چاپ دوم، تهران، مؤسسه جغرافیایی و کارتوگرافی سحاب، ۲۰۹ ص.
- باتاچاریا، گ. ک. و جانسون، را. (۱۳۶۶). مفاهیم و روش‌های آماری. ۲، جلد دوم، ترجمه مرتضی این شهرآشوب و فتاح میکائیلی، تهران، مرکز نشر دانشگاهی، ۷۳۲ ص.
- پدرامی، م. (۱۳۶۲). چینه‌شناسی کواترنر ایران و روش‌های مطالعه آن. تهران، سازمان زمین‌شناسی و اکتشافات معدنی کشور، گزارش داخلی، چداری عیوضی، ج. (۱۳۷۴). ژئومورفولوژی ایران. تهران، انتشارات دانشگاه پیام نور، ۱۰۶ ص.
- رامشت، م. (۱۳۸۱). آثار یخچالی در زفره اصفهان، طرح پژوهشی شماره ۸۰۰۳۰۵ شورای پژوهشی دانشگاه اصفهان، اصفهان.
- علیجانی، ب. و کاویانی، م. (۱۳۷۱). مبانی آب‌وهواشناسی، تهران، انتشارات سمت، ۵۷۶ ص.
- محمودی، ف. (۱۳۶۷). تحلیل ناهمواری‌های ایران در کواترنر، پژوهش‌های جغرافیایی، مؤسسه جغرافیای دانشگاه تهران، ۲۰: ۴۳-۵.

- مهدوی، م. (۱۳۷۲). آمار و احتمالات در جغرافیا. چاپ دوم، تهران، انتشارات دانشگاه پیام نور، ۱۸۴ ص.
- یمانی، م. (۱۳۸۱). ژئومورفوگلوبی یخچال‌های علم کوه، پژوهش‌های جغرافیایی، مؤسسه جغرافیای دانشگاه تهران، ۳۴(۴۲): ۱۸-۱.
- یمانی، م، مقیمی، ا، عزیزی، ق. و باخویشی، ک. (۱۳۹۲). تبیین قلمروهای مورفوکلیماتیک در بلندی‌های غرب استان کردستان. پژوهش‌های جغرافیای طبیعی، ۴(۴)، ۱۴-۱.
- Aljani, B. and Kaviani, M.R. (1992). Fundamentals of climatology. SAMT Publication, Tehran, 576 pp. [in Persian]
- Böbek, H. (1963). Nature and implications of Quaternary climatic changes in Iran, in changes of climate, Proceedings of symposium on changes of climate with special reference to And Zones: Rome. 1961, UNESCO: 403413.
- Böbek, H. (1957). Anniversary publication for the centennial of the geographical society of Vienna, 1856-1956. Vienna: 236-264.
- Böbek, H. (1937). The role of the ice age in Northwestern Iran. Berlin, 25: 130-183.
- Bhattacharyya, R. and Johnson, R.A. (1987). Statistical concepts and methods, Translated by Ibn Shahrashoub, M., and Mikaeli, F., IUP Publication, Tehran, 732 pp. [in Persian]
- Böbek, H. (1934). Travel in Northwest Persia. Berlin, 9/10: 359-369.
- Bout, P., Derraua, M., Dresch, J. and Péguy, Ch.P. (1961). Observations on the physical geography of Northern Iran. Expedition of 1958 under the auspices of C.N.R.S., Paris: 9-112.
- Busk, D.L. (1933). Climbing and skiing in the Elburz Range, North Persia, 1931-2. Alpine Journal, 45(247): 334-341.
- De Morgan, J. (1895). Mission scientifique en perse, 4 Vol. Paris, <http://gallica.bnf.fr/ark:/12148/bpt6k110549r/f3.image.r-jacques+de+morgan.langFR>.
- Desio, A. (1934). Geographic and geologic conformation concerning the Zardkuh Mountains in Persia. Italy, 4: 141-167.
- Ehlers, E. (1993). Iran: Grundzüge einer geographischen Landeskunde. Translated by Rahnamaei M., T., Sahab, Tehran, 209 pp. [in Persian]
- Ferrigno, J.G. (1988). Glaciers of the Middle East and Africa- Glaciers of Iran. www.pubs.usgs.gov/prof/p1386g/Iran.pdf.
- Grunert, J., Carls, H. G. and Preu, C. (1978). The present-day glaciers of the Central Iranian High Mountains, Eiszeitalter und Gegenwart, 28: 148-166.
- Harding, J.G.R. (1957). Cambridge expedition, 1956, to the Elburz Mountains, Iran. Himalayan Journal, 20: 112-121.
- Heybrock, W. (1940). Naturwissenschaftliche Beobachtungen in Iran: Petermanns geographische Mitteilungen [Scientific Observations in Iran: Petermanns geographic Releases]. 86(4): 124-131.
- Horvath, E. (1975). Glaciers of Turkey, Armenian S.S.R. and Iran, in Field, W.O., ed., Mountain glaciers of the Northern Hemisphere, pt. 111, Glaciers of Southern Asia: Hanover, N.H., U.S. Army Cold Regions Research and Engineering Laboratory: 343-359.
- Jedari Eivazi, J. (1995). Geomorphology of Iran, Payame Noor University Publication, Tehran, 106 pp. [in Persian]
- Mahdavi, M. (1993). Statistics and probability in geography. Payame Noor University Publication, Tehran, 184 pp. [in Persian]
- Mahdavi, M. and Taherkhami, M. (2012). Applied statistical analysis in geographic researches. Ghoomes Publishing Company, Tehran, 420 pp. [in Persian]
- Mahmudi, F. (1988). The transformation of the Iran terrains in quaternary. Researches in Geography Quarterly, 20(23): 5-43. [in Persian]
- McQuillan, H. (1969). Small glacier on Zardeh Kuh, Zagros Mountains, Iran. Geographical Journal, 135(4): 639.
- Pedrami, M. (1987). Quaternary stratigraphy of Iran and methods of study. Geology Survey and Mineral Exploration of Iran, Tehran, Internal Report. [in Persian]
- Péguy, Ch.P. (1959). Les glacières de l'Elbourz [The glaciers of the Elburz Mountains]. Bulletin de l'Association de Géographes Français, Paris, 284-285: 44-49.
- Porter, S.C. (2001). Snowline depression in the tropics during the Last Glaciation. Quaternary Science Reviews, 20.
- Ramesht, M.H. (2002). Glacial evidence of the Zefreh. Geography Department of Isfahan University, Isfahan, Iran. [in Persian]
- Ramesht, M.H. and Nematollahi, F. (2005). Ice caps evidences in Iran. Modarres Human Sciences, 9(4): 1-18. [in Persian]
- Seif, A. (2015). Equilibrium-line altitudes of Late Quaternary glaciers in the Oshtorankuh Mountain, Iran. Quaternary International, 374: 126-143.
- Seif, A. and Ebrahimi, B. (2016). Morphological analysis of glaciated valleys in the Zardkuh Mountain, Iran. Natural Environment Change, 2(2): 127- 142.
- Seif, A. and Ebrahimi, B. (2014). Combined use of GIS and experimental functions for the morphometric study of glacial cirques, Zardkuh Mountain, Iran. Quaternary International, 353: 236-249.
- Singh, P.V., Singh, P., and Haritashya, U.K. (2011). Encyclopedia of snow, ice and glaciers. Springer Publication, the Netherlands, 1300 pp.
- Schweizer, G. (1972). Climatically based geomorphological and glaciological characteristics of the high-altitude regions of near Eastern Mountains (Iran and Eastern Anatolia). 4: 221-236.
- Wright, H.E., Jr. (1962). Pleistocene glaciation in Kurdistan, 12: 131-164.
- Yamani, M. (2002). The geomorphology of Alamkoh Glaciers. Researches in Geography Quarterly, 42: 1-18. [in Persian]
- Yamani, M., Moghimi, E., Azizi, G. and Bakhshi, K. (2013). Determination of Holocene morphoclimatic regions in highlands of the West and Northwest of Kurdistan Province. Researches in Physical Geography Quarterly, 45(4): 1-14. [in Persian]